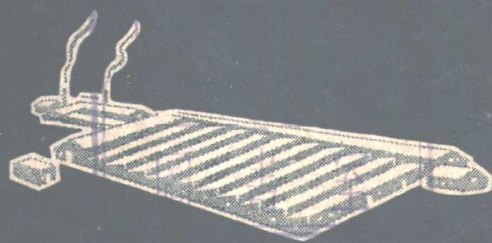


單層廠房連續結構分析

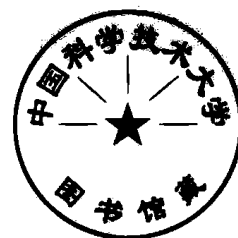
張有齡著



科学技術出版社

單層廠房連續結構分析

張有齡著



科学技術出版社

內容提要

本書主要介紹丹麥奧斯登菲教授的形變法，在連續廠房的剛構分析中應用逐結推算法，可得完全準確的結果。書中除簡單述及必要的理論外，大部分是把它的應用推廣到變截面及拱形杆件的結構上，並用實例來說明，使讀者能很快地掌握這一個適用於高度超靜定結構的分析方法。

書中特別注意變截面梁和曲梁的影響，同時結合近代通用的幾種剛構分析法，作出了全面固定彎矩系數表，不論計算法或圖解法均便檢用。

本書可供大專土建工程系作為參考書，亦可供從事廠房設計工作人員作為研究與參考之用。

單層廠房連續結構分析

著者 張有齡

*

科學技術出版社出版

(上海建國西路336弄1號)

上海市書刊出版業營業許可證出〇七九號

光藝印刷廠印刷 新華書店上海發行所總經售

*

統一書號：15119·270

開本 787×1092 紙 1/16·印張 12 1/2 插頁 2·字數 246,000

一九五六年七月第一版

一九五六年七月第一次印刷·印數 1—4,000

定价：(11)二元三角

序 言

廠房結構均屬高度及跨度巨大，荷載複雜繁重，為求增加勁度節約材料計，自宜采用剛性結構進行設計為佳。又以廠房排間當屬一律，一兩個平面計算就解決了整個廠房設計問題，因此有必要采用精確合理的分析方法。同時為了節省時間起見，所用方法更須便捷簡單，是以近年來學者對此多有研究貢獻，惟目標偏重于“近似法”或“迭代法”，用于民用建築自屬適當；以其構架中每個結點至少有三個、四個杆件會于一點，如按正確方法進行分析，不但繁複無止境，且于其精確度亦無多大補助，故采用如柯勞塞克^①之形變分配法最為得宜。而廠房類結構，根據上述理由，並不需要尋求一“複雜的簡便近似方法”。相反地應考慮到每個對結構有影響的細微因素，如變截面、結點性質、桁架梁的勁度、拱的作用等問題似更迫切。

吾人不能諱言中國研究結構工程者受克勞斯^②的影響至深且廣，克勞斯于1930年同時發表兩大貢獻，即“力矩分配法”與“柱比法”，使結構分析方法趨于同一方向，互相呼應，極一時之盛，此項功績自不可泯沒。若論二者之價值孰大，愚意“柱比法”之觀念新穎（將超靜定問題變為靜定的單向力的平衡），應用簡便（自然的包括了側欹作用在內），實勝于“力矩分配法”。無論何種分配法，其實質無非是逐次的求解若干聯立方程式，因此僅是一個數學中近似分析法的問題，不過克勞斯補充了結點的“鎖緊”與“放鬆”觀念，因而使人印象清晰，易于掌握。此二方法用者之評價不一，然由于實用範圍之廣泛及深入研究者之衆多（迄今廿五年仍在進展），不能不認為此二法在解決超靜定結構問題中掀起了無比的高潮，并大大地推進了這一方面的新成就。

這裏更可以補充一點，變梁和曲梁（即拱）的新分析方法都屬於柱比法的進一步推廣。戴爾^③簡化了折梁（即鋸齒形屋架）的推力計算，也是與柱比法異曲而同工。

至此作者願介紹丹麥學者奧斯登菲^④對於結構分析的貢獻。其所著丹麥文的“技術靜力學”^⑤二冊刊行于1925年，并曾于1923年發表“形變法”^⑥。所謂克勞斯之“柱比法”與“力矩分配法”，雖于表現形式上稍有不同于奧斯登菲者，實已在哥本哈根^⑦大學講授多年。

① C.V. Klouček

② H. Cross

③ G. H. Dell

④ A. Ostenfeld

⑤ Teknisk statik

⑥ Die Deformationsmethode

⑦ Copenhagen

矣，惜以其文字非國人所熟諳，以致美玉藏匱，未能早見其光輝耳。

作者在以往多年工作中，試用奧斯登菲的“形變法”。尤着重其所創之逐結推算法，頗覺可取；更進而結合柱比法的觀念，以求成立變截面曲梁常數的通式；又試將戴爾公式推廣到曲梁上的應用。至于桁架梁的勁度計算，引用茅氏^①始用于桁架分析的功能法，證明一般的估計過高，是值得注意的。以上不過是把業務學習中的一些問題提出了初步看法，自然必須還要更進一步來研究的。

書中內容所分析的一些問題仍是廠房中最簡單的例子，分析的問題也不全面。如軸應力、溫度應力、地震應力，以及廠房之局部有平台者等特殊問題，尙付缺如。希望以後有機會加以補充。還有一點應特別在此向讀者致歉的，就是荷載及長度多處引用了英制：一則因為若干例題係取自英美書籍，藉資參比；二則係作者舊稿，如將內容一律改用公制，需費不少時間，故仍沿用。在本書中作者建議符號上角加一小圈者表示固定的意思，如 M° 是固端力矩；符號下角加一小圈者表示靜定的意思，如 S° 是靜定力；應注意者 Z 。雖是一靜定力，但可等于固端力矩 M° ，因為後者在分析前是作為靜定的已知值的。如承國內先進贊同，希望能將這類符號逐漸統一的確定下來。

全書經蔡方蔭先生詳細核閱，提出了不少寶貴意見，已逐一加以修正；排版之前復承顧世楫先生仔細編校，都應在此表示感謝。書中不妥之處，恐尚難免，幸讀者隨時指正。

張有齡 一九五五年九月卅日于北京

① L. G. Maugh

目 錄

序 言	1
第一 節 角變位移法公式	1
第二 節 單架分析	3
第三 節 逐結推算法	10
第四 節 單位變位彈性方程式解	21
第五 節 叠式廠房分析	24
第六 節 拱形屋頂分析	35
第七 節 逐結推算法的闡明	66
第八 節 鋸齒形構架的分析	71
第九 節 變梁常數表及單階柱公式	81
第十 節 變梁的角變位移法通式	88
第十一 節 變梁剛構的逐結推算法	125
第十二 節 构架剛構的分析	138
附 錄 一 等截面梁固定彎矩係數表	172
附 錄 二 魯貝兒矩形截面變梁常數表	176
附 錄 三 執常係數表及其應用	186
附 錄 四 參考文獻	193

第一節 角變位移法公式

近代結構分析方法無非根據于構件連續觀念的擴展，但繁簡難易須視運用者之得心應手與否，苟就扼要主旨而言，皆源出變位或虛功觀點。據文獻所載，此法于 1868 年創自莫耳^①，八十年來經各專家加以推廣；然其用于實際工作中，需解多數聯立方程式，費時太久，為其缺點。1923 年奧斯登菲創單位變位法新解，其優點在可以逐結推算，不必解多數聯立方程式，應用遂覺簡便。本書所舉各例，悉以說明此點，其基本方程式僅變位法兩公式耳。

圖 1 索杆 ab，兩端之角變位各為 ζ_a （讀如 zeta）、 ζ_b ，兩端之相對綫變位為 Δ 。由圖 $\zeta_a = \alpha_{ab} +$

ψ_{ab} ， $\zeta_b = \alpha_{ba} + \psi_{ba}$ ；圖示各值均為正號。設 $\mu_{ab} = \frac{I_{ab} L_c}{L_{ab} I_c}$ ，為任一 ab 杆勁度對 c 杆而言的相對比值，則

$$\left. \begin{array}{l} M_{ab} = M_{ab}^o + 2\mu_{ab}(2\zeta_a + \zeta_b - 3\psi_{ab}) \\ M_{ba} = M_{ba}^o + 2\mu_{ab}(2\zeta_b + \zeta_a - 3\psi_{ab}) \end{array} \right\} \quad (1)$$

其中 M_{ab}^o 、 M_{ba}^o 為 ab 杆兩端之定端力矩。如梁之 b 端固定，稱之為 i，則 $\zeta_b = 0$

$$\left. \begin{array}{l} M_{ai} = M_{ai}^o + 2\mu_{ai}(2\zeta_a - 3\psi_{ai}) \\ M_{ia} = M_{ia}^o + 2\mu_{ai}(\zeta_a - 3\psi_{ai}) \end{array} \right\} \quad (1a)$$

如梁之 b 端係鉸結，稱之為 k，則 $M_{ka} = 0$ ，於是

$$\left. \begin{array}{l} \zeta_k = -\frac{1}{2}\zeta_a + \frac{3}{2}\psi_{ak} \\ M_{ak} = M_{ak}^o + 3\mu_{ak}(\zeta_a - \psi_{ak}) \end{array} \right\} \quad (1b)$$

如 b 端係一連續結點，其彎矩之大小恒在此二限以內。設梁 ab 兩端之實際彎矩為 M_{ab} 、 M_{ba} ，解式(1)可得

$$\zeta_a - \psi_{ab} = \frac{1}{3\mu_{ab}} \left[\left(M_{ab} - \frac{M_{ba}}{2} \right) - \left(M_{ab}^o - \frac{M_{ba}^o}{2} \right) \right] \quad (2)$$

茲暫不論側欹，使 $\psi_{ab} = 0$ ；如兩端固定，則 $M_{ab} = M_{ab}^o$ ， $M_{ba} = M_{ba}^o$ ， $\zeta_a = 0$ ；如兩端鉸結

① O. Mohr

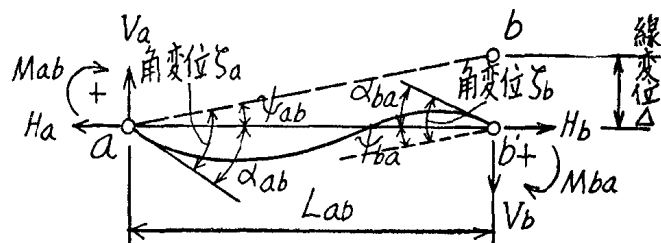


圖 1

單層廠房連續結構分析

或簡支，則 $M_{ab} = M_{ba} = 0$ ， $\zeta_a = -\frac{1}{3\mu_{ab}} \left(M_{ab}^o - \frac{M_{ba}^o}{2} \right)$ ，由式(2)求角變位至為捷便，試

如圖 2，由著者所編之固定彎矩係數表(附錄一)查得： $M_{ab}^o = -\frac{WL}{10}$ ， $M_{ba}^o = \frac{WL}{15}$

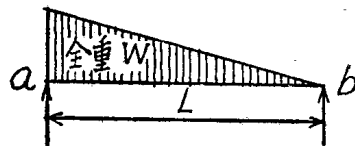


圖 2

$$\zeta_a = -\frac{1}{3\mu} \left(-\frac{1}{10} - \frac{1}{30} \right) WL = \frac{8}{180} \frac{WL^2}{EI}$$

$$\zeta_b = -\frac{1}{3\mu} \left(\frac{1}{15} + \frac{1}{20} \right) WL = -\frac{7}{180} \frac{WL^2}{EI}$$

第二節 單架分析

剛構中最簡單者為單架。許多剛構在進行設計時每可簡化使成單架，故實際應用最廣。單架剛構的基本性質每用表格列舉，最全備者當推克蘭勞蓋^[13]“剛架公式”一書，共列舉1,643種單架，用者稱便。但所舉僅限於對稱單架，且各構件均為等截面者，因之在剛構分析中仍未能普遍適用。其實普通單架僅有兩個結點，亦即只有兩個角變為未知數，殊易求其通式，並使其不僅限用于等截面。茲為敘述便利起見，由簡而繁，從淺入深，分別以(甲)無側欹、(乙)側欹校正及(丙)單位變位彈性方程式解，三個步驟分析之。

(甲)無側欹 圖3示單架于a結點置一支杆oa為側支，故無側欹。

$$M_{ab} = M_{ab}^o + 2\mu_{ab}(2\zeta_a + \zeta_b)$$

$$M_{a1} = M_{a1}^o + 2\mu_{a1}(2\zeta_a)$$

$$\Sigma M_a = 0 = \Sigma M_a^o + 4\zeta_a \Sigma \mu_a + 2\zeta_b \mu_{ab}$$

同此

$$\Sigma M_b = 0 = \Sigma M_b^o + 4\zeta_b \Sigma \mu_b + 2\zeta_a \mu_{ab}$$

解之

$$\left. \begin{aligned} \zeta_a &= \frac{\mu_{ab} \Sigma M_b^o - 2 \Sigma \mu_b \Sigma M_a^o}{8 \Sigma \mu_a \Sigma \mu_b - 2 \mu_{ab}^2} \\ \zeta_b &= \frac{\mu_{ab} \Sigma M_a^o - 2 \Sigma \mu_a \Sigma M_b^o}{8 \Sigma \mu_a \Sigma \mu_b - 2 \mu_{ab}^2} \end{aligned} \right\} \quad (3)$$

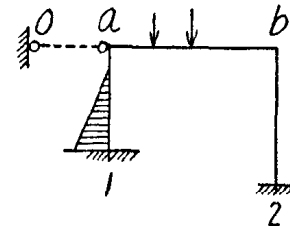


圖 3

如柱之下端1或2結點非固定而乃簡支或鉸結時，須將上式中之 μ_{a1} 或 μ_{a2} 乘以 $3/4$ 。

[例一(甲)]

杆件	L	I	I/L	μ
$a1$	$L_c = 24$	$I_c = 8.0$	$1/3.00$	$1.00 \times 0.75 = 0.75$
ab	36	19.7	$1/1.83$	1.64
$b2$	30	27.0	$1/1.11$	2.70

$$\Sigma \mu_a = 2.39, \quad \Sigma \mu_b = 4.34$$

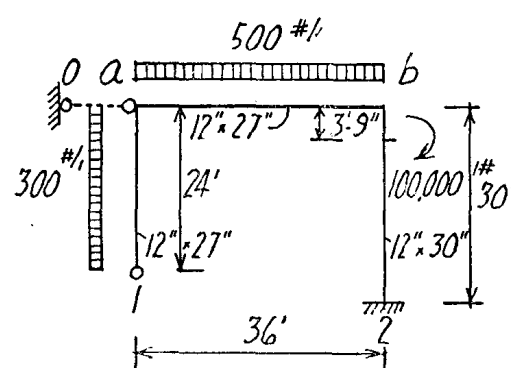


圖 4

$$M_{a1}^o = \frac{300 \times 24^2}{12} = 14,400'#, \quad M_{ab}^o = -\frac{500 \times 36^2}{12} = -54,000'#$$

$$\Sigma M_a^o = -39,600'#$$

① A. Kleinlogel

$$M_{ba}^o = 54,000' \# , \quad M_{b2}^o = -(1 - 4a + 3a^2)M = -\left(1 - \frac{4}{8} + \frac{3}{64}\right)100,000$$

$$= -\frac{35}{64}100,000 = -54,687' \# \text{①}$$

$$\Sigma M_b^o = -687' \# , \quad M_{2b}^o = a(2 - 3a)M = \frac{1}{8}\left(2 - \frac{3}{8}\right)100,000 = \frac{13}{64}100,000$$

$$= 20,312' \#$$

$$\zeta_a = \frac{1.64(-687) - 2 \times 4.34(-39,600)}{8 \times 2.39 \times 4.34 - 2 \times 1.64^2} = \frac{342,601}{77.60} = +4,415$$

$$\zeta_b = \frac{1.64(-39,600) - 2 \times 2.39(-687)}{8 \times 2.39 \times 4.34 - 2 \times 1.64^2} = \frac{-61,660}{77.60} = -795$$

V

$$\left\{ \begin{array}{l} M_{a1} = M_{a1}^o + 3\mu_{a1}\zeta_a = 14,400 + 3 \times 1(4,415) \\ \quad = 27,645' \# \\ M_{ab} = M_{ab}^o + 2\mu_{ab}(2\zeta_a + \zeta_b) = -54,000 + 2 \times 1.64(8,830 - 795) \\ \quad = -27,645' \# \end{array} \right.$$

$$\left\{ \begin{array}{l} M_{ba} = M_{ba}^o + 2\mu_{ab}(2\zeta_b + \zeta_a) \\ \quad = 54,000 + 2 \times 1.64(4,415 - 1,590) = 63,266' \# \\ M_{b2} = M_{b2}^o + 2\mu_{b2}\zeta_b = -54,687 + 2 \times 2.70(-1,590) \\ \quad = -63,266' \# \\ M_{2b} = M_{2b}^o + 2\mu_{2b}\zeta_b = 20,312 + 2 \times 2.70(795) \\ \quad = 16,019' \# \end{array} \right\} -47,247/30 = -1,575'$$

- 423' →

不平衡側力 3,600 ←

不平衡剪力 3,177' ←

其中不平衡側力係指在 oa 側支上之反力。

(乙)側欹校正 根據所產生之不平衡剪力 $3,177' \#$, 如無拉杆 oa 承受之, 則架即應向右傾斜, 故用一相等而相反之力 $-3,177' \#$ 加諸 a 結點, 予以側欹校正, 可使彎矩與側力成平衡, 稱為側欹校正。

設柱 ai 之 i 端為固定端, 當 a 端受單位側欹時, 可以 $-6\mu_{ai}\psi_{ai}$ 代 M_{ai}^o 與 M_{ia}^o ; 設柱

① 式中 $a = \frac{3.75}{30} = \frac{1}{8}$, 參閱附錄(一)固定彎矩係數表第 51 式, 正負號亦可由附圖決定之

ak 之 k 端為鉸結, 則以 $-3\mu_{ak}\psi_{ak}$ 代 M_{ak} . 前者結點 a 之彎矩為

$$M_{a1} = 2\mu_{a1}(2\zeta_a - 3\psi_{a1})$$

$$M_{ab} = 2\mu_{ab}(2\zeta_a + \zeta_b - 3\psi_{ab})$$

$$\Sigma M_a = 0 = 4\zeta_a \Sigma \mu_a + 2\zeta_b \mu_{ab} - 6\Sigma \mu_a \psi_a$$

同此

$$\Sigma M_b = 0 = 4\zeta_b \Sigma \mu_b + 2\zeta_a \mu_{ab} - 6\Sigma \mu_b \psi_b$$

解之

$$\left. \begin{aligned} \zeta_a &= \frac{-3\mu_{ab}\Sigma\mu_b\psi_b + 6\Sigma\mu_b\Sigma\mu_a\psi_a}{4\Sigma\mu_a\Sigma\mu_b - \mu_{ab}^2} \\ \zeta_b &= \frac{-3\mu_{ab}\Sigma\mu_a\psi_a + 6\Sigma\mu_a\Sigma\mu_b\psi_b}{4\Sigma\mu_a\Sigma\mu_b - \mu_{ab}^2} \end{aligned} \right\} \quad (4)$$

當 k 端為鉸結時 μ_{ak} 應乘以 $\frac{3}{4}$, ψ_{ak} 應乘以 $\frac{1}{2} \times \frac{4}{3} = \frac{2}{3}$.

[例一(乙)] 設 a 節點向右移位 1, $\psi_{a1} = \frac{1}{24}$, $\psi_{b2} = \frac{1}{30}$, $\psi_{ab} = 0$

$$\Sigma \mu_a \psi_a = 0.75 \left(\frac{1}{24} \times \frac{2}{3} \right) = 0.0208, \quad \Sigma \mu_b \psi_b = 2.70 \left(\frac{1}{30} \right) = 0.0900$$

$$\zeta_a = \frac{-3 \times 1.64(0.0900) + 6 \times 4.34(0.0208)}{38.80} = \frac{0.0988}{38.80} = 0.00255$$

$$\zeta_b = \frac{-3 \times 1.64(0.0208) + 6 \times 2.39(0.0900)}{38.80} = \frac{1.1883}{38.80} = 0.03063$$

$$\left\{ \begin{aligned} M_{a1} &= 3\mu_{a1}(\zeta_a - \psi_{a1}) = 3 \times 1 \left(0.00255 - \frac{1}{24} \right) = -0.1173 \\ &\quad - 0.1173/24 = -0.00489 \end{aligned} \right.$$

$$\left. \begin{aligned} M_{ab} &= 2\mu_{ab}(2\zeta_a + \zeta_b) = 2 \times 1.64(0.00510 + 0.03063) = 0.1173 \end{aligned} \right.$$

$$\left\{ \begin{aligned} M_{ba} &= 2\mu_{ab}(2\zeta_b + \zeta_a) = 2 \times 1.64(0.00255 + 0.06126) = 0.2093 \end{aligned} \right.$$

$$\left. \begin{aligned} M_{b2} &= 2\mu_{b2}(2\zeta_b - 3\psi_{b2}) = 2 \times 2.70 \left(0.06126 - \frac{1}{10} \right) \\ &= -0.2093 \end{aligned} \right.$$

$$\left. \begin{aligned} M_{2b} &= 2\mu_{b2}(\zeta_b - 3\psi_{b2}) \\ &= 2 \times 2.70 \left(0.03063 - \frac{1}{10} \right) = -0.3746 \end{aligned} \right\} - 0.5839/30 = -0.01946$$

不平衡剪力 = -0.02435 →

此與(甲)所得之比為 $\frac{3,177}{-0.02435} = -130,472$, 用 130,472 乘以上各值, 即得側欹校正

彎矩，再加無側欹之彎矩，即為實際彎矩。

	側欹校正	無側欹	實際彎矩	
M_{a1}	- 15,304	27,645	12,341	$12,341/24 = 514^{\#}$
M_{ab}	15,304	- 27,645	- 12,341	$\left. \begin{array}{l} \\ \end{array} \right\} 78,332/36 = 2,176^{\#}$
M_{ba}	27,308	63,266	90,574	
M_{b2}	- 27,308	- 63,266	- 90,574	$\left. \begin{array}{l} \\ \end{array} \right\} - 123,430/30 = - 4,114^{\#}$
M_{2b}	- 48,875	16,019	- 32,856	$\overline{- 3,600^{\#}}$

(丙)單位變位彈性方程式解 在超靜定結構中已知結點 n 之靜定變位為 δ_{no} ，如分別使超靜定力 $X_a = 1, X_b = 1 \dots$ 其于 n 點所產生之變位為 $\delta_{na}, \delta_{nb} \dots$ 則其總變位為

$$\delta_n = \delta_{no} + X_a \delta_{na} + X_b \delta_{nb} + \dots + X_p \delta_{np} \quad (5)$$

此式稱為單位應力彈性方程式。同理，設已知結點 n 在靜定狀態下之力為 Z_{no} ，如分別使超靜定變位 $\zeta_a = -1, \zeta_b = -1 \dots$ 其于 n 點所產生之力為 $Z_{na}, Z_{nb} \dots$ 則其總力為

$$Z_n = Z_{no} - Z_{na} \zeta_a - Z_{nb} \zeta_b - \dots - Z_{np} \zeta_p \quad (6)$$

此式稱為單位變位彈性方程式，其結果可由式(1)導得：設剛構無側欹，令 $M_{ab}^o = \zeta_b = 0$ ，并 $\zeta_a = -1$ ，則 $M_{ab} = -4\mu_{ab} = -M'_{ab}$ ；再令 $M_{ab}^o = \zeta_a = 0$ ，并 $\zeta_b = -1$ ，則 $M_{ab} = -2\mu_{ab} = -M''_{ab}$ ，故式(1)可寫成

$$M_{ab} = M_{ab}^o - M'_{ab} \zeta_a - M''_{ab} \zeta_b \quad (7)$$

設剛構有 p 個結點，上式乃包括 p 個角變， M 係杆端的彎矩，用于結點 n 時正負號相反，即

$$Z_n = -M_{ab}, \quad Z_{no} = -M_{ab}^o, \quad Z_{na} = -M'_{ab}, \quad Z_{nb} = -M''_{ab} \dots \quad (8)$$

即得式(6)；其中 Z 自然也可作為力，則 ζ 為其相當位移。

此與分析超靜定桁架之單位應力彈性方程式同一意義

$$S = S_o + s'X + s''Y + s'''Z + \dots \quad (9)$$

其中 S 為實際應力， S_o 為其靜定應力， $s', s'', s''' \dots$ 為分別使 $X = 1, Y = 1, Z = 1 \dots$ 之應力，所不同者僅改用單位應變而已。

在分析剛構時每個結點之彎矩與每個側支之側力均應平衡，故每結點有一結點公式：

$$Z_a = 0 = Z_{ao} - Z_{aa} \zeta_a - Z_{ab} \zeta_b - \dots - Z_{ap} \zeta_p \quad (10)$$

每側支有一側支公式：

$$Z_r = 0 = Z_{ro} - Z_{ra} \zeta_a - Z_{rb} \zeta_b - \dots - Z_{rp} \zeta_p \quad (11)$$

由變位法公式(1)，當 a, b 兩端均固定不動時，則 $M_{ab} = M_{ab}^o$ ，就結點 a 言正負號相反

$$Z_{ao} = -\sum M_a^o \quad (12)$$

如無側欹， $\psi_{ab} = 0$ ，則 $M_{ab} = 2\mu_{ab}(2\zeta_a + \zeta_b)$ ，當 b 端固定 ($\zeta_b = 0$)， a 端加一負單位角變 ($\zeta_a = -1$) 時， $M_{ab} = -4\mu_{ab}$ ，就圖 5 結點 a 言正負號相反

$$Z_{aa} = -\sum M_a = 4\sum \mu_{ab} + 4\sum \mu_{ai} + 3\sum \mu_{ak} \quad (13)$$

當 a 端固定 ($\zeta_a = 0$)， b 端加一負單位角變 ($\zeta_b = -1$) 時， $M_{ab} = -2\mu_{ab}$ ，就結點 a 言正負號相反

$$Z_{ab} = 2\mu_{ab} \quad (14)$$

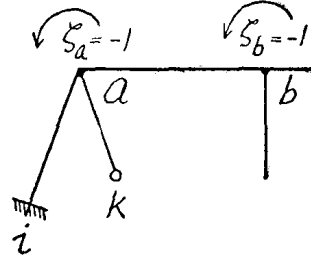


圖 5

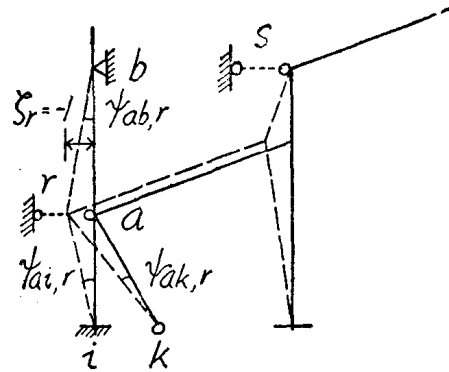


圖 6

仍就公式(1)，惟僅考慮側欹如圖 6，當側支 s 不動，側支 r 有一負單位變位 $\zeta_r = -1$ 時，則在固定狀態下之 r 側支力為

$$Z_{ro} = -\sum P\delta \quad (15)$$

其中 P 為側力， δ 為側力作用方向的變位。因而在杆件 ab 之兩端產生彎矩 $M_{ab,r} = M_{ba,r} = -6\mu_{ab}\psi_{ab,r}$ ， ab 間之剪力 $V_{ab,r} = -12\mu_{ab}\psi_{ab,r}/L_{ab}$ ，就側支 r 言力相反

$$Z_{ra} = -\sum M_a = 6\sum \mu_{ab} \psi_{ab,r} + 6\sum \mu_{ai} \psi_{ai,r} + 3\sum \mu_{ak} \psi_{ak,r} \quad (16)$$

每一杆件當受到側欹時，其兩端即有彎矩發生，乘以其間之側角 ψ ，即其內在功能，側支之力乘以其位移 ζ_r ，即其外加功能；使杆 ab 當 $\zeta_r = -1$ 時之側角為 $\psi_{ab,r}$ ，當 $\zeta_s = -1$ 時之側角為 $\psi_{ab,s}$ ，作用于有側支結點上之內外功能應相等，即

$$Z_{rs}\zeta_s = -Z_{rs} = \sum P\delta = -12\mu_{ab}\psi_{ab,r} \frac{\zeta_s}{L_{ab}} - 12\mu_{ai}\psi_{ai,r} \frac{\zeta_s}{L_{ai}} - 3\mu_{ak}\psi_{ak,r} \frac{\zeta_s}{L_{ak}}$$

故 $Z_{rs} = 12\mu_{ab}\psi_{ab,r}\psi_{ab,s} + 12\mu_{ai}\psi_{ai,r}\psi_{ai,s} + 3\mu_{ak}\psi_{ak,r}\psi_{ak,s}$

當結點同類杆件不止一個時， $Z_{rs} = 12\sum \mu_{ab}\psi_{ab,r}\psi_{ab,s} + 12\sum \mu_{ai}\psi_{ai,r}\psi_{ai,s}$

$$+ 3\sum \mu_{ak}\psi_{ak,r}\psi_{ak,s} \quad (17)$$

當杆件之僅受一個側支影響時， $r = s$ ，則

$$Z_{rr} = 12\sum \mu_{ab}\psi_{ab,r}^2 + 12\sum \mu_{ai}\psi_{ai,r}^2 + 3\sum \mu_{ak}\psi_{ak,r}^2 \quad (18)$$

當結點同時受彎矩與側欹時，結點之平衡公式為

$$\begin{aligned} Z_a = 0 &= Z_{ao} - Z_{aa}\zeta_a - Z_{ab}\zeta_b - \dots - Z_{ar}\zeta_r - Z_{as}\zeta_s - \dots \\ \dots &\dots \quad \downarrow \\ Z_r = 0 &= Z_{ro} - Z_{ra}\zeta_a - Z_{rb}\zeta_b - \dots - Z_{rr}\zeta_r - Z_{rs}\zeta_s - \dots \\ \dots &\dots \end{aligned} \quad (19)$$

根據麥克斯威①互等定律

$$Z_{ar} = Z_{ra} \dots \quad Z_{rs} = Z_{sr} \dots \quad (20)$$

[例一(丙)]

$$Z_{ao} = 39,600^{\#}, \quad Z_{aa} = 4\sum \mu_a = 4 \times 2.39 = 9.56, \quad Z_{ab} = 2\mu_{ab} = 2 \times 1.64 = 3.28$$

$$Z_{bo} = 687^{\#}, \quad Z_{bb} = 4\sum \mu_b = 4 \times 4.34 = 17.36$$

$$Z_{ro} = 3,600 + \frac{14,400}{24} - \frac{34,375}{30} = 3,600 + 600 - 1,146 = 3,054^{\#}$$

$$Z_{ar} = 3\sum \mu_a \psi_a = -3 \times \frac{1}{24} = -0.1250 \text{ (或 } -6 \times 0.0208 = -0.1250)$$

$$Z_{br} = 6\sum \mu_b \psi_b = 6 \times 0.0900 = -0.5400$$

$$Z_{rr} = 3 \times 1 \times \frac{1}{24^2} + 12 \times 2.70 \times \frac{1}{30^2} = 0.0052 + 0.0360 = 0.0412$$

結點公式二：

$$Z_a = 0 = 39,600 - 9.56\zeta_a - 3.28\zeta_b + 0.1250\zeta_r,$$

$$Z_b = 0 = 687 - 3.28\zeta_a - 17.36\zeta_b + 0.5400\zeta_r,$$

側支公式一：

$$Z_r = 0 = 3,054 + 0.1250\zeta_a + 0.5400\zeta_b - 0.0412\zeta_r,$$

解前二式，得

$$\zeta_a = 4,415 + 0.00255\zeta_r,$$

$$\zeta_b = -795 + 0.03063\zeta_r,$$

式中前項常數即無側欹之答案，次項 ζ_r 之係數乘以 -1 ，乃側欹校正，代進以上側支公式， $Z_r = 0$ 得：

$$0 = 3,177 - 0.02435\zeta_r,$$

$$\zeta_r = \frac{3,177}{0.02435} = 130,472$$

即前甲乙兩項之比值，由此解得

$$\zeta_a = 4,748, \quad \zeta_b = 3,201, \quad \psi_{a1} = \frac{130,472}{24} = 5,436, \quad \psi_{b2} = \frac{130,472}{30} = 4,349$$

$$\left\{ \begin{array}{l} M_{a1} = M_{a1}^o + 3\mu_{a1}(\zeta_a - \psi_{a1}) = 14,400 + 3 \times 1(4,748 - 5,436) \\ \qquad \qquad \qquad = 12,336 \end{array} \right. \quad 12,336/24 = 514^\#$$

$$\left\{ \begin{array}{l} M_{ab} = M_{ab}^o + 2\mu_{ab}(2\zeta_a + \zeta_b) = - 54,000 \\ \qquad \qquad \qquad + 2 \times 1.64(9,496 + 3,201) = - 12,354 \end{array} \right.$$

$$\left\{ \begin{array}{l} M_{ba} = M_{ba}^o + 2\mu_{ab}(2\zeta_b + \zeta_a) \\ \qquad \qquad \qquad = 54,000 + 2 \times 1.64(6,402 + 4,748) = 90,572 \end{array} \right. \quad 78,218/36 = 2,172^\#$$

$$\left\{ \begin{array}{l} M_{b2} = M_{b2}^o + 2\mu_{b2}(2\zeta_b - 3\psi_{b2}) = - 54,687 \\ \qquad \qquad \qquad + 2 \times 2.70(6,402 - 13,047) = - 90,570 \end{array} \right.$$

$$\left. \begin{array}{l} M_{2b} = M_{2b}^o + 2\mu_{b2}(\zeta_b - 3\psi_{b2}) \\ \qquad \qquad \qquad = 20,313 + 2 \times 2.70(3,201 - 13,047) = - 32,855 \end{array} \right\} \quad \begin{array}{l} - 123,425/30 \\ = - 4,114^\# \end{array}$$

$$- 3,600^\#$$

結果示如圖 7。取杆件 $a1$ ，可得 $300 \times \frac{24^2}{2} - 3,086 \times 24 = 86,400 - 74,064$
 $= 12,336$ ，證明平衡。

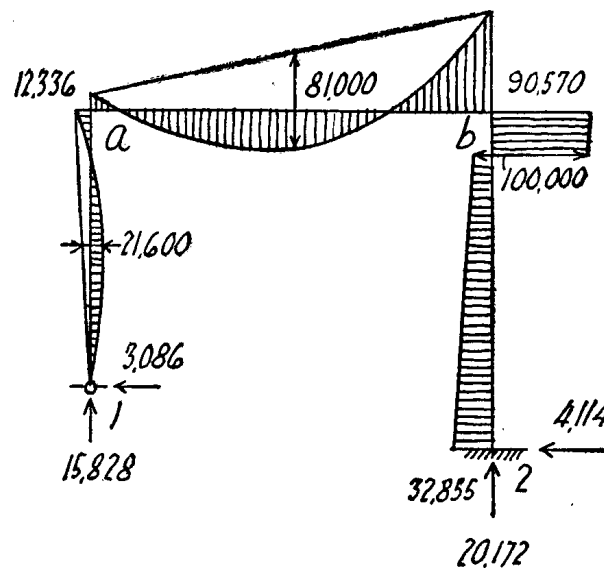


圖 7

第三節 逐結推算法

上節所述彈性方程式解顯見簡捷，然此係用于單架剛構，若多跨連續廠房則結點側支增多，形式與荷重亦多變化，無法作出一般性的分析公式；即或用單位變位彈性方程式，亦以聯立方程式過多，求解費時。本節所述之逐結推算法旨在解除此項困難。

由其命名或謂逐結推算法當屬漸近法①或迭代法②，著者將留于第七節舉例說明此法，決非一般之求略值者可比，而係一正確之解法；其出發點仍以引用單位變位進行分析，正如超靜定力學公式(9)之引用單位應力，其分析過程初不經任何數學上之收斂步驟也。

梁 ba 之變位法公式為

$$M_{ba} = M_{ba}^o + 2\mu_{ab}(2\zeta_b + \zeta_a - 3\psi_{ab})$$

$$M_{ab} = M_{ab}^o + 2\mu_{ab}(2\zeta_a + \zeta_b - 3\psi_{ab})$$

第一式中 ba 杆 b 端之彎矩 M_{ba} 與該端之角變 ζ_b 成正比，設其他各項暫不動；又因以前單位角變均用 -1 ，故 b 端角變與彎矩之關係可以下式表明之：

$$\zeta_b = \zeta_{ob} - \tau_b M_{ba} \quad (21)$$

其中 ζ_{ob} 為 b 節點原有之角變位， τ_b 為一比例係數；將其代入第一式，得

$$M_{ba}(1 + 4\mu_{ab}\tau_b) = M_{ba}^o + 2\mu_{ab}(2\zeta_{ob} + \zeta_a - 3\psi_{ab}) \quad (22)$$

再代入第二式，解 M_{ab} 得

$$\begin{aligned} M_{ab} &= \frac{2\mu_{ab}}{1 + 4\mu_{ab}\tau_b} [\zeta_{ob} + 2(1 + 3\mu_{ab}\tau_b)\zeta_a - 3(1 + 2\mu_{ab}\tau_b)\psi_{ab}] \\ &\quad + M_{ab}^o - \frac{2\mu_{ab}\tau_b}{1 + 4\mu_{ab}\tau_b} M_{ba}^o \end{aligned} \quad (23)$$

逐結推算法之步驟由 a 點起算逐結向 a, b, c, \dots 方向推算，惟因在 a 點起算時，除已假定 $Z_{ao} = 1$ （即在 a 結點加單位負彎矩）外，並分別以 $\zeta_a = -1, \zeta_b = -1, \zeta_c = -1, \dots$ 進行分析，而實際每結點皆受到以前諸結點之影響，故當推算到前向最末一個結點時，經符合該剛構最遠一端之邊界條件後，乃需倒算一次，以回到 a 結點；如此所得皆成實際數值，亦即平衡數值。此法之要旨在每次單獨分析一個角變位。正如前言，用超靜定力學公式(9)分別將超靜定力 X, Y, Z, \dots 代以 1，最後各杆之實際應力再乘以 X, Y, Z, \dots 其旨盡同。

當無側欹時， $\psi_{ab} = 0$ ，式(23)成為

① Method of approximation

② Method of iteration

$$M_{ab} = \frac{2\mu_{ab}}{1 + 4\mu_{ab}\tau_b} [\zeta_{ob} + 2(1 + 3\mu_{ab}\tau_b)\zeta_a] + M_{ab}^o - \frac{2\mu_{ab}\tau_b}{1 + 4\mu_{ab}\tau_b} M_{ba}^o \quad (24)$$

分別以“結點固定”及“每結點分別給予單位負角變”兩步驟進行分析；前者先設 $\zeta_a = \zeta_b = \zeta_c = \dots = 0$ ，由上式

$$Z_{ao} = - \left[M_{ab}^o + \frac{2\mu_{ab}}{1 + 4\mu_{ab}\tau_b} (\zeta_{ob} - \tau_b M_{ba}^o) \right] - M_{ai}^o - M_{ak}^o \quad (25)$$

再以 $\zeta_a = -1$ ，其他各角變 $\zeta_b, \zeta_c \dots$ 仍等於零，則

$$Z_{aa} = 4\mu_{ab} \frac{1 + 3\mu_{ab}\tau_b}{1 + 4\mu_{ab}\tau_b} + 4\sum \mu_{ai} + 3\sum \mu_{ak} \quad (26)$$

以 a 結點起始推算，式(10)即變為

$$Z_a = 0 = Z_{ao} - Z_{aa}\zeta_a \quad (27)$$

已假定 $Z_{ao} = 1$ （即 $M_{ab} = -1$ ），故 $\zeta_a = \frac{1}{Z_{aa}}$ ，由式(21)並設該結點原無角變，得

$$\zeta_a = \tau_a = \frac{1}{Z_{aa}} \quad (28)$$

由 a 結點開始後，即可用(25)、(26)兩式，循 $a, b, c \dots$ 次序推進，以迄最後一結點；推進時係根據式(21)，故倒算時仍應根據此式，代入式(22)

$$(\zeta_{ob} - \zeta_b)(1 + 4\mu_{ab}\tau_b) = \tau_b M_{ba}^o + 2\mu_{ab}\tau_b(2\zeta_{ob} + \zeta_a)$$

解 ζ_b ，得倒算公式

$$\zeta_b = \frac{1}{1 + 4\mu_{ab}\tau_b} (\zeta_{ob} - 2\mu_{ab}\tau_b\zeta_a - \tau_b M_{ba}^o) \quad (29)$$

用此式倒算回到 a 結點，即得各結點之實際角變。

[例二(甲)]

此例係適用於一般輕工業之鋸齒形廠房，尤以紡織廠最為適宜。近年採用薄殼屋面漸趨普遍，或以采光要求將 ab 梁做成拱式，或以結構上之要求，做成變梁。本例先取圖 8 所示之最簡單等截面梁開始，以後逐例分論較複雜之剛架，仍以此為藍本：一則說明此

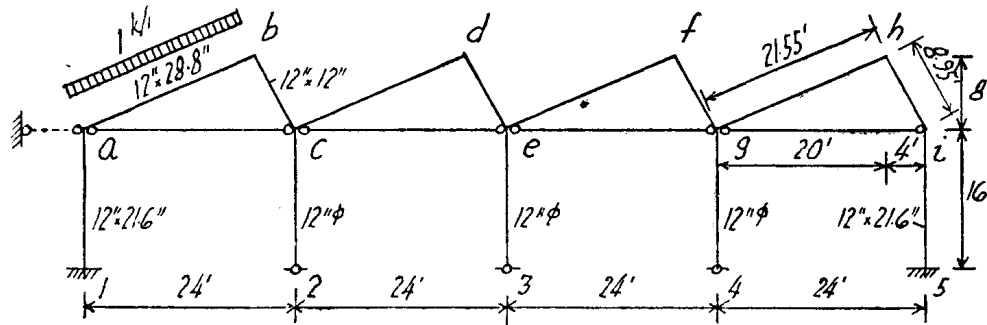


圖 8